奄美大島表層土壌における 高レベル有害元素濃度および生物可給リスク

尾 崎 宏 和*,油 谷 有 紀**,鈴 木 大 輔**,渡 邉 泉** (2011年6月8日受付, 2012年1月20日受理)

High-level harmful elements and their bio-availability risk from top soil in Amami-Oshima, Kagoshima, Japan

Hirokazu Ozaki*, Yuki Aburatani**, Daisuke Suzuki** and Izumi Watanabe**

- * Center of Education for Leaders in Environmental Sectors, Tokyo University of Agriculture and Technology, 3-5-8, Saiwai-cho, Fuchu, 183-8509, Tokyo
- ** Graduate School of Agriculture, Tokyo University of Agriculture and Technology, 3-5-8, Saiwai-cho, Fuchu, Tokyo 183-8509, Japan

Amami-Oshima, Kagoshima Prefecture, Japan keeps unique and precious natural environment. On the other hand, high level of harmful elements has been detected in higher predators including human. These environmental background calls for further investigation for successive environmental conservation in this area. This study revealed that Cu, Zn, As and Sb primarily, and Hg, Tl and Pb secondarily are abundant harmful elements included in top soil in Amami-Oshima. Geological factor in the region was speculated as its cause. Extractive test indicated an exposure risk via direct inhale of soil dust and uptake to plants and crops. The large concentration and high supplying potential from top soil are suggested to be main factors of their elevated content in higher organisms in Amami-Oshima.

Key words: Amami-Oshima, Heavy metal, Harmful elements, Top soil, Bio-availability

1. 緒 言

1.1 遠隔地域における人為起源物質のモニタリング

離島や山岳は、都市部に比べ人為活動に伴う多様な 汚染物質の暴露が少ない。そのため生態系の維持や物 質循環のメカニズム解明を目的とした地球化学的研究 では、遠隔地域での環境観測が多く行なわれてきた。

〒183-8509 東京都府中市幸町3-5-8

遠隔地域は、人為影響の量と種類が少ないため、影響があればそれが明瞭に検出される(岩坂、2001)。したがって環境科学研究においても有効な地域であり、近年では人為汚染の評価を目的とした研究も増えている。隠岐島(山崎ほか、2004)、与那国島や礼文島など(山崎ほか、2009)では、柱状堆積物の測定によりアジア起源の重金属負荷の増加が示され、山岳地域では、自動車走行に伴う道路脇土壌の重金属汚染(尾崎ほか、2005、2009)、首都圏由来の窒素酸化物や光化学オゾンの大気中での存在(畠山、1999)などが明らかとされている。

1.2 奄美大島の希少生態系と環境問題

都市から離れた地域では、多くの場合、貴重な自然

^{*} 東京農工大学環境リーダー育成センター 〒183-8509 東京都府中市幸町3-5-8

^{**} 東京農工大学大学院農学研究院物質循環環境科学 部門

環境が残されている。したがって、それらの地域自体 が研究対象として意義をもつ。南西諸島は、生物地理 区の移行帯に位置しており、北方系および南方系双方 の動植物相が認められる。とくに奄美大島は、第三紀 系または第四紀に起源をもつ希少種が独自の進化を遂 げ,これら固有種が亜熱帯の照葉樹林で多く棲息す る。本地域では、アマミノクロウサギ (Pentalagus furnessi)が特別天然記念物および希少野生動植物種 に指定され、絶滅危惧 IB類 (EN) にも分類されて いる (WWF ジャパン, 2009)。一方で, ハブ駆逐の ために導入されたマングース (Herpestes sp.) が、ア マミノクロウサギを捕食することは主要な環境問題と して知られている。さらに、マングースは個体によっ ては $200 \,\mu\text{g/g}$ 湿重を越える Hg が肝臓に検出されると いう、人間であれば毒性発現を免れない高濃度を体内 に保持していることが明らかとなってきた(Horai et al., 2006)。したがって、本来の地域生態系から逸脱 した外来種は、食物網バランスを崩壊させるだけでな く, 毒性元素の分布など物質循環もかく乱するとい え, それに伴う他種への新たな生体影響などを誘引す る可能性も推測される。また、奄美大島住民の爪に は, 平均で0.41 μg/g の As が検出され, これは九州 の鹿児島県住民と比べ約3倍にあたることも報告され ている (Tabata et al., 2006)。このように、奄美大島 での重金属・有害微量元素の環境中分布は解明するべ き点が多くあり、それに関する基礎的な調査が求めら れる。

1.3 本研究の目的

奄美大島では貴重な自然が保持されているだけでなく、重金属・有害微量元素(以下、まとめて有害元素)の分布と循環に特異的傾向が認められ、そこでの元素循環や人為影響を明らかにすることは、現地の環境の保護に貢献するものとなる。しかし奄美大島では、有害元素の環境レベルや循環に関する知見は非常に限られている。そこで本研究では、奄美大島における自然環境の保護と有害元素循環のメカニズム解明を目的として、人々の生活にかかわりの強い表層土壌の有害元素濃度を分析し、それらの環境中レベル、地理的分布および動植物への移行性を検討した。

2. 試料と方法

2.1 採取地点および試料の採取方法

土壌試料の採取地として,島内のほぼ全域を約10 kmの等間隔でカバーするよう19地点を設定し,2009

年6月25日および26日,市街地はずれ,海岸近く,山間部の森林内,畑作地帯などから試料を採取した。いずれの場所も,局地影響を回避するため,住居や道路からは数~数十 m 離れた地点,工場などの無い地点を選定した(Table 1,Fig. 1)。各地点では,互いに約1 m 離れた3点の,深さ5 cm までの土壌を採集し,じゅうぶんに混合したものをポリエチレン製ビニール袋に入れて持ち帰り, -30° C で冷凍保存した。

2.2 試料の調整,分解,抽出

試料を解凍後、礫、木片、夾雑物などを取り除き、 常温にて乾燥させ、乳鉢を用いて粉砕した。続いて、 口径2.0 mm の非金属性の篩に通し、以下3種の試験 に用いる風乾細土とした。

全量試験には、風乾細土約0.100gをテフロン PFA 製バイアルに精秤し、硝酸2 mL、フッ化水素酸1 mL を添加して、200 W のマイクロウェーブ加熱分解装置で15分間湿式分解を行った。バイアルを常温に戻した後、開封して 100° C の熱板上に置き、スクラバ付きドラフトチャンバー内で酸を蒸発乾固させた。さらに、5% 硝酸(関東化学株式会社製 EL 硝酸)に再溶解し、No.5C のろ紙に通して約25 mL に定容した。

続いて、土壌中に含まれる有害元素の生物可給性と 環境中の挙動を検討するため、1 mol/L 塩酸および純 水による振とう抽出試験を行った。1 mol/L 塩酸によ る抽出は, 試料1.02 g に1 mol/L 塩酸を34 mL 添加し て, 常温常圧で200 rpm, 幅4 cm の横振盪を2時間 行った。その後30分静置し、3,000 rpm で20分間の 遠心分離を行い, No. 5C ろ紙に通した上澄み液を検 液とした。この方法は、「農用地の土壌の汚染防止等 に関する法律」(以下、土壌汚染防止法) および「土 壌汚染対策法」における含有量試験(環境省告示第19 号) に準じるものである。また純水抽出では、塩酸に より pH 5.8~6.3に調整した超純水30 mL を試料3.00 gに加え,常温常圧で200 rpm,幅4 cmの横振盪を6 時間行った。その後30分静置し、3,000 rpm で20分 間の遠心分離を行い、No.5Cろ紙に通した上澄み液 を検液とした。この方法は、「土壌汚染対策法」にお ける溶出試験(環境省告示第18号)に準じるもので ある。

2.3 元素分析

¹⁰³Rh を内部標準元素として, 誘導結合プラズマ質量分析計 (ICP-MS, Agilent 7500a) により22元素 (⁷Li, ²⁴Mg, ⁴³Ca, ⁵¹V, ⁵³Cr, ⁵⁵Mn, ⁵⁷Fe, ⁵⁹Co, ⁶⁰Ni, ⁶³Cu, ⁶⁶Zn, ⁶⁹Ga, ⁷⁵As, ⁸²Se, ⁸⁵Rb, ⁸⁸Sr, ¹¹¹Cd, ¹²¹Sb,

Table 1 Site code, area, satellite position and address of the locations where samples were collected.

A1 Nc Sc	אנים							772000	ייייייייייייייייייייייייייייייייייייי
		deg. min.		sec.	deg. min.		sec.	Address	Nelliarns
	North-east area	28	24	54.9	129	41 2	26.5	Fushida, Kasaricho, Amami-shi	City margin
	Southern shore	28	24 2	26.0	129	38	3.4	Akaogi, Tatsugo-cho	Farm area
A3		28	24 4	42.7	129	35 2	20.9	Ura, Tatsugo-cho	City margin
A4		28	22	53.5	129	34 5	54.2	Oogachi, Tatsugo-cho	Settlement margin
A5 Ar	Amami city area	28	23 4	41.5	129	31 2	29.7	Naze Asahicho, Amami-shi	City margin
A6		28	23 4	41.5	129	29	9.6	Naze Asanishimmachi, Amami-shi	City margin
A19		28	21	31.8	•	29 4	49.4	Naze Hiratacho, Amami-shi	City margin
A7 Ce	Central area	28	22	51.0	129	26	4.8	Naze Nesebu, Amami-shi	Small settlement margin
A8 No	Northern shore	28	21	27.5	129	23 4	45.4	Yamatohama, Yamato-son	Settlement margin
A9		28	21 4	43.3	129	21	6.3	Oodana, Yamato-son	Mountainious area
A10		28	19 4	44.5	129	18	31.8	Naon, Ymamato-son	Coastal mountain
	South-central	28	16	51.0	129	17	38.9	Yuwan, Uken-son	Settlement margin
A12 ar	area	28	15 1	17.2	129	19 4	46.4	Yuwan, Uken-son	Mountainious area
A13		28	13 4	41.1	129	20 4	45.8	Shinokawa, Setouchi-cho	Mountainious area
A14		28	11 7	47.3	129	21 5	53.8	Aminoko, Setouchi-cho	Mountainious area
A15		28	41	35.8	129	22 2	20.9	Sumiyoucho Yakugachi, Amami-shi	Mountainious area
	South-central	28	15	20.3	129	24 1	14.2	Sumiyoucho Yakugachi, Amami-shi	Settlement margin
A17 Sc	Southern shore	28	17 1	18.1	129	26 3	32.9	Sumiyoucho Mizato, Amami-shi	Settlement margin
A18		28	19 1	12.5	129	29 2	21.2	Naze Asato, Amami-shi	Mountainious area

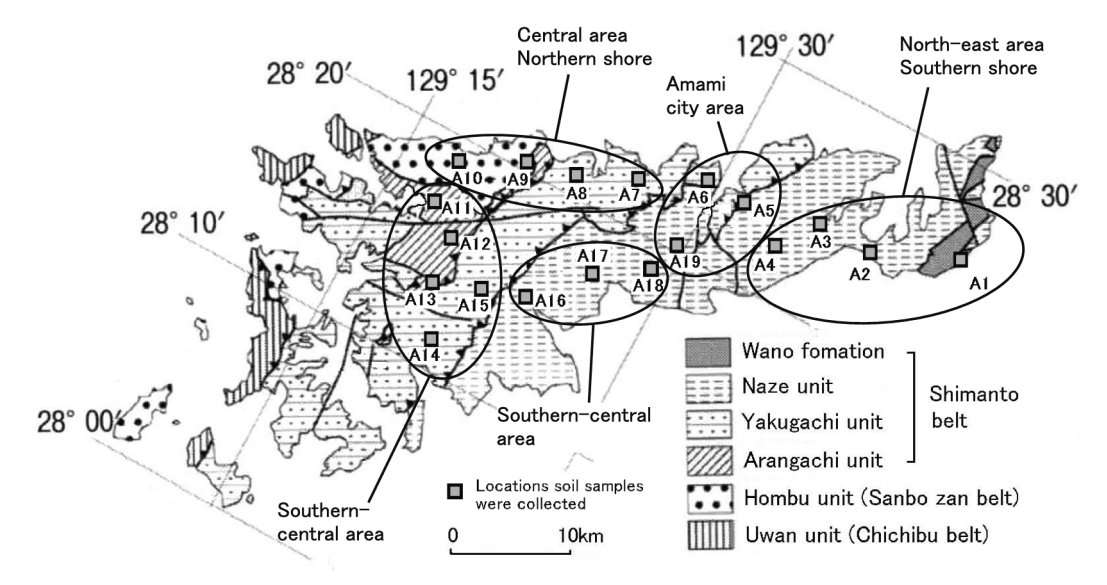


Fig. 1 Map of the 19 locations where top soil was collected and distribution of geology in Amami-Oshima. The geological information was referred from Takeuchi (1994).

¹³⁸Cs, ¹³⁷Ba, ²⁰⁵Tl, ²⁰⁸Pb) を 定量 した。また Hg は, 塩化第一スズと硫酸を用いた還元気化原子吸光法によ り測定した(CVAAS, 平沼 HG-400)。

2.4 土壌 pH の測定

風乾細土10g に超純水25 mL を加えて振盪し、1時間放置した。測定前に軽く振盪して再懸濁させ、ガラス電極により pH(H_2O)を測定した。

3. 結果と考察

3.1 測定元素の全濃度レベル

本研究で測定した23元素の濃度のうち、Cu、Zn、 As, Sb は、全量試験による最大濃度はそれぞれ59.6、 638, 59.7, 4.13 mg/kg, 平均値はそれぞれ39.3, 234, 17.2, 2.08 mg/kg が 認 め ら れ た (Table 2, Fig. 2)。これらの元素は、浅見(2010)による土壌 中元素濃度の非汚染濃度と比較して、最小--平均--最 大濃度はそれぞれ、Cu が1.16-2.07-3.14倍、Zn が 1.57-3.91-10.7倍, As が0.80-2.53-8.75倍, Sb が2.32-5.61-11.2倍ととくに高いレベルに到達した (Fig. 3)。さらに、試料を採取した19地点のうち濃 度が非汚染レベルを越えた地点数は、Cu, Zn, Sb が 19, As が18とほぼ全てに達した。Cu, Zn, As, Sb の4元素は、濃度の平均値が非汚染レベルの2倍以上 であっただけでなく、最小値(それぞれ22.1,5.42, 94.2, 0.86 mg/kg) も非汚染レベルに近いかそれ以上 であり、島内の全域で高い濃度が分布することが示唆 された。

Sr, Hg, Tl, Pb は, 平均濃度が147, 0.10, 0.50, 29.1 mg/kg であった。最小一平均一最大濃度は, 非汚染レベルと比較して, Sr は0.008—1.50—9.96倍, Hg は0.29—1.65—2.78倍, Tl は0.97—1.60—2.64倍, Pb は0.80—1.69—3.45倍であった (Fig. 3)。また, Sr は6地点, Hg は17地点, Tl は18地点, Pb は18地点で非汚染レベル以上の濃度が認められた。Hg, Tl, Pb はほとんどの地点が非汚染レベルを上回ったが, 平均値は Sr とともに1.5倍程度, 最大値は Hg, Tl, Pb の3つの有害元素は3倍前後の範囲であることから, Cu, Zn, As, Sb に次ぐ濃度範囲にあると認められた。

Ni は12地点, Se は14地点が, 非汚染レベルとされる0.47 mg/kg および24 mg/kg を上回ったが (Table 2), 最小一平均一最大濃度は, 非汚染レベルに対して Ni は0.59—1.14—1.69倍, Se は0.72—1.26—2.17倍であり, 前述した Cu, Zn, As, Sb, Sr, Hg, Tl, Pb ほどの高い値はみられなかった。Li, Ca, Mn, Cd も, 非汚染レベルに対して Li が0.56—0.87—2.10倍, Ca が0.02—1.38—7.89倍, Mn が0.37—0.96—2.44倍, Cd が0.28—0.67—2.00倍にとどまった (Fig. 3)。とくに, 高い有害性が知られる Cd が非汚染値以上を示したのは, 最高濃度地点を含めて2地点, 同様に Mn は7地点であり, 全島的な高レベルはみられなかった (Table 2)。これら以外の元素に関し

Heavy metal and trace element concentrations (mg/kg dry wt.) extracted by hydrogen fluoride and nitrle acid from top soil collected in Amami Oshima. Concentrations are shown in the upper line and its ratio to non-polluted level is in the lower line in italic font. Table 2

A2 146 7770 4 A3 224 946 7770 4 A3 224 946 7770 4 A4 164 910 A4 164 910 A4 164 910 A7 167 4460 A19 204 3710 6 A8 21 1440 A19 204 3710 6 A8 21 1440 A8 21 1344 A8 21 1384 A1 248 344 A11 248 344 A12 218 723 A13 241 561 A14 248 344 A15 084 086 A15 084 086 A16 088 088 A17 088 088 A17 088 088 A18 088 088 A19 088 088 A11 248 344 A11 248 344 A12 084 088 A13 084 088 A14 866 A15 088 A15 088 A16 088 A17 088 088 A17 088 088 A18 088 088 A19 1160 A19	40100 2.23 8230 8230 8230 1.28 8090 1.780 2.86	87.2 0.57 11.4 0.48 11.14 0.65 13.1 0.77 0.77 0.77 0.77 0.77 0.77	28.7 5 0.51 0.1 47.8 3 0.85 0.1 80.8 5	10	000	2.8	'	284	18.2	17.9		'		'		33			!
hern shore A2 224 234 234 244 A3 A4 A4 A4 A4 A4 A4 A4 A4	40100 627 14300 2.23 6230 0.97 8090 1.28 17180 2.68 2.68 2.69 2.69 2.69 2.69 2.69 2.69 6.340 6.340	972 818 818 948 827 944 954 977 104 978 978 978 978 978 978 978 978						284	18.2	17.9	0.851								
hern shore	627 14300 6230 6230 6230 128 17180 2.68 2.550 2.69 2.69 2.69 2.297 2.97 6340 6340	918 818 948 967 914 914 914 054 067 131 077								2.7.									
A2 224 946 173	2.27 6.230 0.97 8.090 1.28 1.28 2.580 0.40 0.40 0.61 7.89 1.89 2.97 2.97 6.340	81.8 0.48 114 0.667 0.24 0.24 0.27 0.27 0.27						4.74	0.87	2.62	1.81								
A3 0.85 0.13 A4 10.2 0.47 A4 16.4 910 A7 0.65 0.17 A7 0.65 0.17 A1 0.65 0.18 A1	2.27 6230 6230 6230 8090 7.28 7.26 0.40 0.40 3900 6.61 7.89 18983 2.97 2.97 6.39	0.48 114 0.67 82.7 0.49 91.4 0.54 131 0.77 0.77 0.67 0.67 0.67						142	22.3	15.7	0.747								
A3 264 3410 A4 164 910 Area mean 200 3259 1 Afrea mean 201 3259 1 A6 229 229 202 A19 204 3110 6 208 202 A19 204 3110 6 A10 208 027 A11 248 344 A12 241 561 A13 241 561 A14 286 A15 149 1160 A16 244 886 A16 284 007 A17 284 118 A18 284 561 A19 160 A10 240 007 A11 248 344 A12 241 561 A14 886 A14 286 A15 241 561 A16 284 007 A17 284 186 A18 284 561 A19 1160 A29 008 A10 255 00	6230 8090 1.26 17180 2.68 2.550 0.40 0.40 0.61 18983 2.97 2.97 0.99	114 067 827 049 91,4 054 131 104 067 067 067 067						2.37	1.06	2.30	1.59								
A4 16 249 Area mean 200 3259 1 Area mean 200 3259 1 A19 203 140 A19 204 3710 3 A19 204 3710 3 Area mean 189 180 And Area mean 224 1178 Area mean 224 1180 Area mean 224 1180 Area mean 224 1180 Area mean 224 186 200 Area mean 224 186 200 Area mean 224 186 200 Area mean 225 200	0.997 1.26 1.26 2.65 0.40 3.900 0.61 3.900 7.89 1.8963 2.97 2.97 2.97	82.7 82.7 91.4 0.54 0.77 104 0.67 0.27 0.27						128	26.7	23.3	0.538								
Area mean 200 3259 1 Area mean 200 3259 1 Area mean 200 3259 1 Afrea mean 200 3259 1 Area mean 196 1972 1 Area mean 196 1972 1 Area mean 2210 394 Area mean 2210 396 Area mean 2210 397 Area mean 2210 397 Area mean 2210 397 Area mean 2210 397 Area mean 222 375 Area mean 223 274	2850 040 040 3900 061 18983 287 289 3900 061 50500 50500 50500	02.7 049 91.4 054 077 104 067 46.4 027						7.04	12.1	3.42	1.14								
Area mean 200 3259 1 Comtral area A5 1 245 1460 A19 231 747 A19 232 371 147 A19 272 171 172 Area mean 196 1972 172 Area mean 277 216 Area mean 287 211 394 Area mean 287 212 396 A10 547 3160 A11 248 344 Area mean 298 208 A12 241 561 A13 241 561 A14 244 366 A15 149 1160 A16 257 216 A17 258 208 A18 258 208 A19 258 208 A10 258 208 A10 258 208 A11 258 208 A12 258 208 A13 258 208 A14 258 208 A15 258	2.68 2.550 0.40 3900 0.61 50500 7.89 18983 2.97 6340	91.4 0.54 131 0.77 104 0.67 46.4 0.27						1.80	1.13	1,55	1,04								
ni city area	2.68 2550 0.40 3900 0.61 50500 7.89 118983 2.97 6340	0.54 131 0.77 104 0.67 46.4 0.27						173	22.7	16.9	0.657								
154 1460 156	2550 0.40 3900 0.61 50500 7.89 18983 2.97 6340	131 0.77 104 0.61 46.4 0.27 93.8						2.89	1.08	2.47	1.40								
A6 0.29 0.20 A19 0.29 0.10 A19 0.29 0.10 Color of the col	0.40 3900 0.61 50500 7.89 18983 2.97 6340	0.77 104 0.61 46.4 0.27 93.8						131	19.8	14.4	0.43								
A66 231 747 A19 20.4 30.10 A19 20.4 30.10 Area mean 196 1972 1 Area mean 196 1972 1 A19 20.4 30.4 A10 5.47 3160 A10 5.47 3160 A10 5.47 3160 A11 2.48 344 A12 2.84 0.06 A13 2.84 0.06 A14 561 A15 A15 0.94 0.07 A15 A15 160 A16 A17 0.94 0.07 A17 5.41 5.61 A18 A18 0.94 0.07 A19 1160 A19	3900 0.61 50500 7.89 18983 2.97 6340 0.99	104 0.67 46.4 0.27 93.8						2.19	0.94	2.11	0.91								
A19 0.89 0.10 Area mean 196 1972 1 ral area A7 0.77 0.77 ral area A7 0.77 0.77 hern shore A8 2.1.1 394 A10 5.77 0.04 A10 5.47 3160 A10 5.47 3160 A10 5.47 3160 A11 2.48 3.44 h-central A11 2.48 3.44 A12 0.94 0.07 A13 0.94 0.07 A14 0.66 A15 0.94 0.07 A15 0.94 0.07 A16 0.94 0.07 A17 0.94 0.07 A18 0.94 0.07 A19 1160 A19	2.67 50500 7.89 118983 2.97 6340 0.99	0.67 46.4 0.27 93.8						267	23.6	18.4	0.599								
A19 204 3710 5 Area mean 156 1972 1 ral area A7 199 770 hern shore A8 211 394 A9 281 0.05 A10 547 3160 2.0 0.44 Area mean 284 1178 h-central A11 248 344 A12 284 178 A13 241 561 A14 866 A15 A15 160 A16 0.07 A17 0.04 A18 0.07 A18 0.07 A19 1160 A19 1160 Area mean 203 0.08 A16 0.07 A17 0.04 A18 0.07 A18 0.07 A19 1160 A19	50500 7.89 18983 2.97 6340 0.99	93.8						4.46	1.12	2.70	1.27								
Area mean 156 127 1 ral area A7 195 170 herrn shore A8 211 394 A9 211 394 A10 547 3160 A10 547 3160 Area mean 244 366 A15 A15 0.04 A16 0.07 A17 0.04 A18 0.07 A18 0.07 A19 1160 A19 1160 A19 1160 Area mean 258 0.08 A14 866 A15 0.08 A16 0.07 A17 0.04 A18 0.07 A18 0.07 A19 1160 A19 A19 A19 A19 A19 A19 A19 A19 A19 A19 A19 A19 A19 A19 A19 A19 A19 A19 A19 A19 A19 A19 A19 A19 A19 A19 A19 A19 A19 A19 A19 A19 A19 A19 A19 A19 A19 A19 A19 A19 A19 A19 A19 A19 A19 A19 A19 A19 A19 A19 A19 A19 A19 A19 A19 A19 A19 A19 A19 A19 A19 A19 A19 A19 A19 A19 A19 A19 A19 A19 A19 A19 A19 A19 A19 A19 A19 A19 A19 A19 A19 A19 A19	18983 2.97 6340 0.99	93.8						638	16.1	20.1	1.02	42.9							
Area mean A7 199 790 rel area A7 199 790 A8 21.1 384 A9 18 386 A10 547 108 A10 547 108 A10 547 118 Area mean 284 1178 A12 218 723 A14 581 A15 084 007 A16 084 007 A17 086 A18 086 A18 086 A19 1190 A19 1	6340 0.99	25.0						345 33333	10.8	2.92 17.6	1 =								
hern shore	6340	55.5						5.77	0.94	2.59	2								
hern shore A8 211 334 A9 111 334 A9 18 366 A10 244 1178 Area mean 284 1178 Area mean 284 1178 Area mean 284 1178 A12 248 344 A13 241 561 A14 244 686 A15 A15 180 A16 A15 180 A17 A18 180 A18 A19 1160 A19 A19 A19 1160 A19 A19 A19 A19 A19 A19 A19 A19 A19 A19 A19 A19 A19 A19 A19 A19 A19 A19 A19 A19 A19 A19 A19 A19 A19 A19 A19 A19 A19	66.0	94.9						360	24.8	13.8									
A8 2.1.1 384 A9 18 2.1.4 386 A10 5.47 3160 A10 5.47 3160 A10 5.47 3160 A10 5.47 3160 A11 2.48 3.44 A12 2.18 0.09 A13 2.41 561 A14 561 A15 0.94 0.07 A15 0.94 0.07 A15 0.94 0.07 A15 0.94 0.07 A16 0.94 0.07 A17 0.94 0.07 A18 1160 A19 A19 A19 A19 A19 A19 A19 A19 A19 A19 A19 A19		0.56						6.01	1.18	2:02									
A9 087 086 A10 547 3160 A10 547 3160 210 044 Area mean 220 046 h-central A11 248 344 A12 028 046 A13 241 561 A14 386 A15 048 A15 049 1160 A15 048 A16 233 274	3880	L.TT						107	17	8.11									
A9	0.61	0.46						1.79	0.81	1.19									
A10 547 3160 Area mean 22/0 0.44 Area mean 284 1178 5 A12 248 344 A12 218 723 A13 241 561 A14 0.94 0.04 A15 149 1160 A15 Area mean 2.57 0.06	1580	79						579	27.9	5.42									
A10 2.00 2.41 3189 Area mean 28.4 1178 15 h-central A11 248 344 A12 218 723 A13 241 561 A14 244 866 A15 149 1160 A16 220 575 14 h-central area A16 233 274	0.25	0.46						9.6/	1.33	0.79									
Area mean 284 0.74 h-central A11 288 344 h-central A11 288 344 A12 218 344 A13 241 561 A14 244 86 A15 0.94 0.07 A15 0.97 0.07 A16 0.97 0.07 Area mean 220 575 11 h-central area A16 233 274	9420	91.3						134	24.5	15.4									
A12 248 344 h-central A11 248 344 A12 248 241 361 A13 241 361 A14 244 866 A14 244 866 A15 241 361 A15 241 361 A16 244 866 A17 244 866 A18	5305	85.7						295	23.6	10.7									
h-central A11 248 344 A12 245 245 A13 241 561 A14 244 866 A14 244 866 A15 A15 149 1160 A15 Area mean 220 575 11 h-central area A16 23 274	0.83	0.50						4.92	1.12	1.57									
A12 218 723 A12 024 020 A13 241 561 028 020 A14 024 086 A15 029 020 A16 025 020 Area mean 225 020	143	118						94.2	19.4	10.9									
A12 218 723 244 219 723 241 241 244 244 266 200 200 200 200 200 200 200 200 200	0.02	69.0						1.57	0.92	1.60									
A13 0.00 A14 0.00 A14 0.04 0.00 A15 0.01 A15 0.01 A15 0.05 0.07 Area mean 22.0 0.08 Area A16 29.3 274	8400	94.9						115	20.4	29.7									
A13 241 561 A14 244 866 A15 293 274 A15 2593 274	1.31	0.56						1.92	0.97	8.75									
A14 244 666 A15 244 607 A15 654 607 A15 657 0.16 Area mean 220 675 11 nrea A16 293 274	286	101						315	19.7	16									
A15 149 1160 257 0.18 Area mean 257 0.8 Area A16 293 274	93.8	79.4						361	17.1	17.7									
A15 149 1160 257 0.16 Area mean 205 0.08 0.08 0.08 rea A16 29.3 274	0.07	0.47						6.03	0.81	2.60									
0.57 0.16 Area mean 2.20 5.75 0.08 0.85 0.08 Irea A16 29.3 274	651	69.7						105	20.2	11.7									
Area mean 22.0 575 0.08 0.08 0.08 1rea A16 29.3 274	0.10	0.41						1.75	96'0	1.72									
ues A16 29.3 274	1915	92.6						198.04	19.4	23.2									
	1330	91.4						193	15.1	16.2									
Southern shore	0.21	0.54						3.22	0.72	2.38									
A17 15.6 684	4170	77.5						232	18.5	17.1									
0.60 0.10	0.65	0.46						3.87	0.88	2.51									
614	5460	76.2						124	18.9	14.7									
0.85 0.09	0.85	0.45						2.07	06:0	2.16									
Area mean 22.3 524 3	3653	91.7			21000 1	13.1 29.0	2.34	3.06	17.5	16.0	0.537	4.99 0.08	38.4 (0.283	5.17	0.30	138 0 0.44	0.078 0.4	0.446 38.7
1479	8812	89.4						234.06316	20.7	17.2									
0.87 0.21	1.38	0.53	0.92		0.51	1.14	2.07	3.91	0.99	2.52	1.26	0.19		29.0	5.61			1.65	1.60
Non-polluted level (*) 26 7200 6	6400	170			53000		19	59.9	21	6.82	0.47			0.295	0.37				_

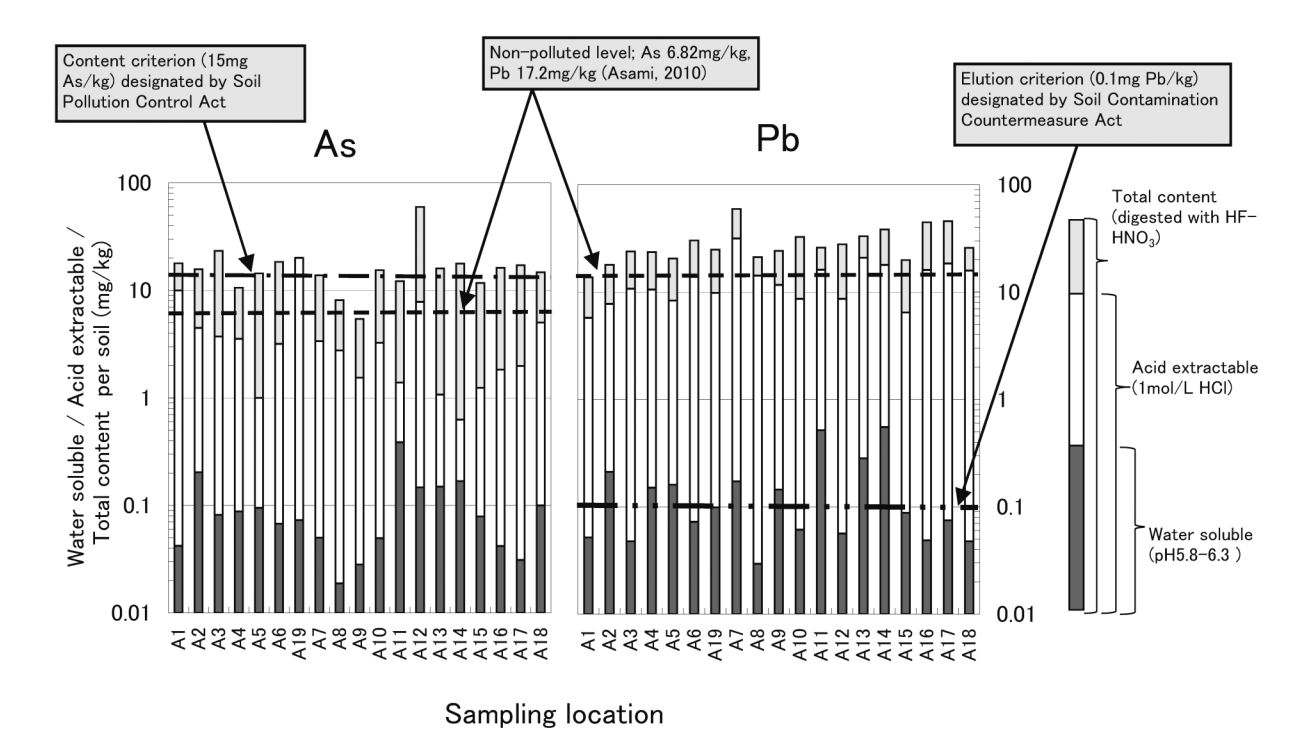


Fig. 2 Total content, acid extractable and water soluble fractions of As and Pb per soil and their comparison with non-polluted and criterion level.

ては、最高濃度も浅見(2010)による非汚染値未満であるか、それ以上の場合も19地点中の半分以下の地点であることが認められた。

以上から、奄美大島表層土壌における有害元素の濃度レベルは、Cu、Zn、As、Sbが全域にわたりとくに高く、Hg、Tl、Pbがそれに次いで注目に値するレベルにあると判断された。そこで以降の考察は、これら7元素に焦点を当てるほか、有害性および土壌からの抽出性の高い Cd を主な対象として進めてゆく。

3.2 元素濃度の地域分布

島内における位置や地形との関連, 市街地や集落との距離を考慮すると, 本研究で試料を採取した19地点は,「北東部南岸」(A1, A2, A3, A4),「奄美市市街」(A5, A6, A19),「中部北岸」(A7, A8, A9, A10),「中南部」(A11, A12, A13, A14, A15),「中南部南岸」(A16, A17, A18) の5地区に分類できる(Fig. 1)。

「奄美市市街」の3地点は、人為影響が強いと推測される地域である。A6では Sb が3.4 mg/kg、A19では Zn が638 mg/kg を示し、それぞれ浅見(2010)による非汚染土壌の平均値に対して9.2倍および10.7倍と高いレベルであった。他の2地点では、Sb は非汚染値の2.3~3.2倍、Zn は2.2~4.5倍であった。一方、人

為影響がより少ないと考えられる「中部北岸」は、A9で Zn が579 mg/kg(9.7倍)、A10で Sb が4.13 mg/kg(11.2倍)だったというように、元素によって高い値を示す地点が異なっていた。Cu、Zn、As、Sb の4元素すべてが非汚染値(浅見、2010)の2倍以上だったのは、北東部南岸のA3、奄美市市街のA6、中部北岸のA7とA10、中南部のA13とA14、中南部南岸のA16のA17と山間部を含めて島内の全域にわたっており(Fig. 4)、人口(奄美市ホームページ、瀬戸内町ホームページ、龍郷町ホームページ、字検村ホームページ、大和村ホームページ)や交通量(国土交通省、2006より推定)などの人為影響とは異なる別の要因が濃度分布に関与していると考えられた。

とくに、As は島の西部で10 mg/kg 前後と比較的低い濃度がみられたが、中部から東部は15 mg/kg 程度の値が分布する傾向が示された。奄美大島は、中部から東部で四万十帯白亜層が地表に露出するという地質的特徴を有しており(遅沢ほか、1983; 坂井、2010)、四万十帯は高濃度ヒ素分布地域と概ね合致することも知られている(興水・小林、2004)。また、奄美大島表層土壌では As のほかに Cu、Zn、Sb、Hg、Tl、Pbでとくに高いレベルがみられたが、後述するように、これら7元素はいずれも親銅元素に分類され、土壌や

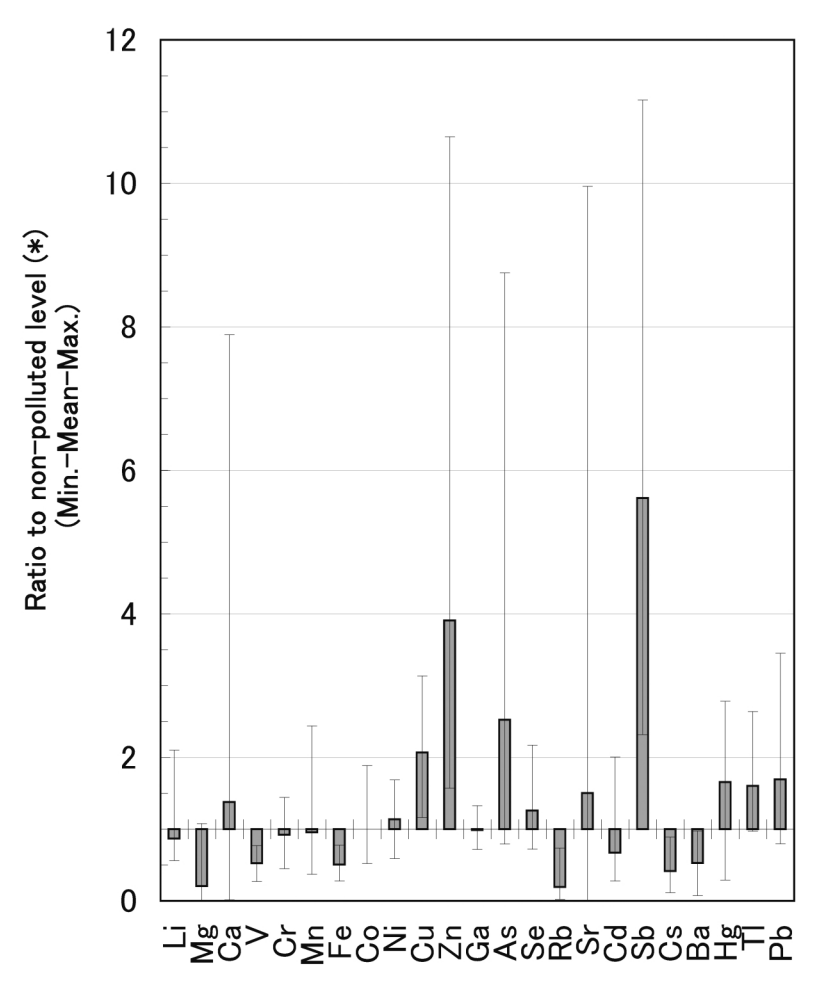


Fig. 3 Concentration ratios of heavy metals and trace elements in top soil collected in Amami-Oshima to the non-polluted level compiled by Asami (2010).

地殻中で随伴性の高い元素である(梶原・正路, 1997)。実際に本地域では、これらの元素間に正の相関がみられており(3.3節)、特異的な元素組成は地質的な因子に由来する可能性が高いと推測された。

3.3 元素濃度間および各地点の元素組成間における関係

19の採取地点すべてを対象として、元素濃度の相関を Spearman の順位相関法で検定した結果(Table 3)、有意な正の相関(p<0.05)を示した元素ペアの大半は、アルカリ金属、アルカリ土類金属に代表される親石元素の相互間、または Cr、Mn、Fe、Ni、Coに代表される親鉄元素の相互間であった。とくに Caと Sr の間には、相関係数(R)が0.977ときわめて高い正の相関がみられたことから、島内全域にわたって、両元素の濃度を支配する要因が同一であることが示唆された。

一般に人為汚染が顕在化しやすい元素どうしでは、Cu-Sb、Cu-Tl、Cu-Pb、Zn-Cd、Cd-Pb、Sb-Tl、Sb-Pb、Hg-Tlの組み合わせで有意な相関が認められた (p < 0.05)。As と Sb は5%水準で有意性はみられなかったが、危険率 (p) は0.057を示し両元素間の比較的強い関係が伺われた。一方で、Cu、Zn、As、Cd、Sb、Hg、Tl、Pbの8元素の地域分布は人為活動との関係を示しておらず(3.2節)、また、これらはいずれも親銅元素に分類される。したがって、奄美大島表層土壌中で高レベルがみられた有害元素どうしが高い相関を示すのは、各元素が固有にもつ化学的性質により生じる随伴性に起因する可能性が高いと推測された。

Cu, Zn, As, Cd, Sb, Hg, Tl, Pb は人為汚染が 生じやすい元素であるが, Li-Cu, Li-Sb, Li-Tl, Mg -Pb, Ca-Tl, Sr-Tl, Cr-Cu, Mn-Cu, Fe-Cu, Ni-Cu, Co-Cu, Mn-Cd, Ni-Cd, Fe-Hg, Fe-Tl, Ni-Tlのよ

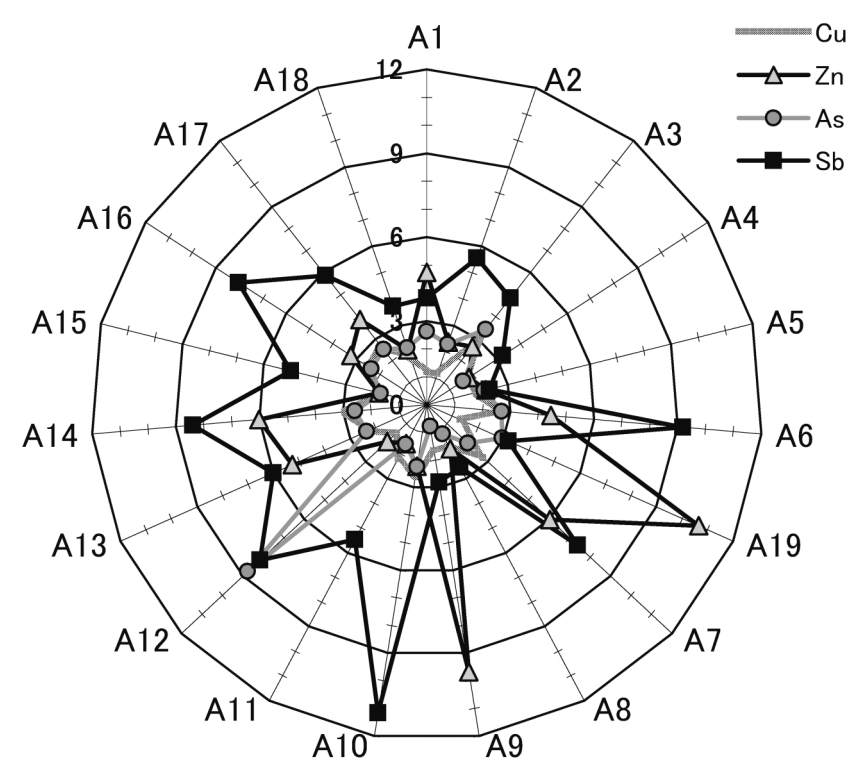


Fig. 4 Ratio of Cu, Zn As and Sb concentrations in top soil collected in the 19 locations in Amami-Oshima to their non-polluted level; the innermost circle indicates the non-polluted level compiled by Asami (2010).

うに、親銅元素以外とも有意な相関が認められた(p <0.05)。ただし、これらと有意に相関した Li、Mg、Ca、Sr、Cr、Mn、Fe、Ni、Co は、前者4元素が親石元素、後者5元素が親鉄元素として土壌中で相互関係が強い元素である(梶原・正路、1997)。したがって、Cu など8元素も他の元素と同様に、地質的因子に支配されていると考えられた。

3.4 土壌 pH

 $pH(H_2O)$ は,奄美大島全域でおおむね6以上が示された(Table 4)。とくに笠利半島を含む北東部南岸 A $1\sim$ A4および中部北岸の A8では7を越える pH 値が認められた。奄美市市街の A5,A6,A19,中南部南岸の A16~A18は,pH 6台 後 半 を 中 心 に,pH 6.38~6.89が認められた。一方で,島の中部から西部にあたる中南部南岸の A9と A10,中南部の A11~A15は,pH 6台前半を中心に5.90~6.75の値がみられた。

奄美大島や徳之島など、奄美群島における土壌は石灰含量が多い高pH土壌が多く分布し、そこに粘板岩質の低pH土壌も混在することが知られている(古江、2009)。土壌pHに6台後半以上がみられた地域

は、A8を除いて四万十帯和野層または四万十帯名瀬 ユニットの地域に該当する(Fig. 1; 竹内、1994)。こ のように、土壌 pH の分布も地質要因に影響されてい ると考えられた。

3.5 他地域との比較

奄美大島表層土壌の Cu, Zn, Sb 濃度は,足尾銅山(尾崎・福士,2010) や細倉鉱山(浅見,2010) の下流域といった鉱山汚染地域のレベルに匹敵した。また, Zn と As は,中国・天津市の廃水灌漑農地における濃度 (Wang and Zhang,2005; Wang et al.,2005) を上回った地点も多かった。天津市は,乾燥した気候と急速な工業化に伴う水不足を要因として,近郊農地で廃水灌漑が数十年にわたって行われ,食用作物の栽培が不適切となるレベルの土壌汚染が存在する地域である (Liu et al.,2005)。さらに, As と Sb は都市部道路脇の土壌(白石ほか,2002; Ozaki et al.,2004;稲田ほか,2009) を明らかに越えるレベルが認められた。都市部道路脇の土壌は自動車走行をはじめとする各種の人為活動に伴って,重金属濃度は非汚染レベルの数~数百倍を示すことが少なくない(浅見,

Table 3 Correlation coefficient and two-tailed probability value between element concentrations in top soil collected in Amami-Oshima caluclated by Spearmen's rank correlation test.

	:=		Mg	(Ca		>		ò		Ā		Fe		၀၀		Ë		on		Zu		Ga		As		Se	i	&	ý		В		S	ပ္ပ		Ва	:	Hg	1	
Pb	0.454	0.051	-0.500	0.029	-0.272	0.260	0.148	0.545	0.391	860:0	0.325	0.175	091.0	0.514	0.241	0.319	0.416	0.077	0.693	0.001	0.361	0.128	-0.070	0.775	0.211	0.387	0.056	0.819	-0.021	-0.339	0.156	0.621	0.005	0.670	0.132	0.591	-0.269	0.200	0.146	0.451	0.053
77	_	\dashv		+	_	\dashv		0.063	0.307	0.201	0.251		0.77.0	0.000					0.562	0.012	0.111	0.652	0.411	0.081		0.836	0.029	+	0.032		0.037		+	0.546	+		-0.261	+	0.551	+	
Hg	H	\dashv		+	_	\dashv		0.199	_		-0.126		-	0.001			_	_	0.380	0.109	0.109	0.658 (0.368	0.121		0.576 (701.0-	+	0.077		0.379		\dashv	0.314 (-		-0.142 -	+			
Ba	H	\dashv		+		\dashv		_	_			0.991		0.574 0		\dashv	_		-0.168 0.	0.493 0.		0.168 0.	0.538 0	0.018 0		0.889 0.	0.239 –	+	0.191 0	+	0.003		\dashv	-0.225 <i>0.</i>	+		7 0	2			_
Cs		\dashv		+		\dashv	-	-	_					0.932 0.					-0.257 -0.	0.288 0.		0.416 0.	-0.258 0.	0.286 0.		0.241 0.8	0.726 0.	+	0.409 0.		0.170 0.		+	0.416 -0.	H	0		+			
		\dashv		+		\dashv		_																				+					\dashv	0.0				+			
g p		\neg	_	+	_	\dashv		-	_	0.359	-0.044	8 0.858		0.170		\dashv	_	_	5 0.500	3 0.029	0 0.153	7 0.533	9 0.100	7 0.684		2 0.057	0.240	+	82 0.267	+	4 0.881	0.321	0.180		L			+			_
р		\dashv		+	_	\dashv	_	-	_		9 0.460		\vdash	0.786		\dashv			5 0.435		0.540	7 0.017	0.219	6 0.367		3 0.972	8 0.063	+	6 -0.282 3 0.241		0.514							+		_	
Ş	H	\dashv		+		\dashv					7 -0.249	0.304	-0.200	0.412					-0.435	0.063	0.035	0.887	4 0.170	0.486		0.113	0.558	+	0.326									+		_	
윤	-0.116	0.637		+		\dashv		0.397	_	0.161	-0.077		\vdash	1.000	_	\dashv	_		-0.035	0.887	0.146	0.552	-0.054	0.825	0.284	0.238	0.341	0.134							L			$\frac{1}{1}$		_	
Se	0.364	0.125	0.306	0.202	0.556	0.014	0.016	0.949	-0.181	0.459	0.183	0.454	0.025	0.918	-0.069	0.779	-0.097	0.694	-0.094	0.702	0.206	0.397	-0.160	0.514	0.279	0.247									L			1			
As	0.249	0.304	0.296	0.218	0.344	0.149	0.152	0.535	-0.007	0.977	-0.181	0.459	0.042	0.864	-0.254	0.295	-0.147	0.547	0.140	0.566	0.372	0.117	-0.195	0.424											L			_			
Ga	0.016	0.949	0.268	0.267	0.174	0.477	0.340	0.155	0.467	0.044	-0.063	0.797	0.547	0.015	0.310	0.197	0.332	0.166	0.190	0.437	-0.025	0.920																			
Zn	0.000	1.000	0.021	0.932	0.112	0.647	-0.111	0.650	-0.040	0.870	0.382	0.106	-0.040	0.870	0.121	0.621	0.119	0.627	0.190	0.437																					
Cu	0.457	0.049	-0.242	0.318	-0.427	0.069	0.362	0.128	0.684	0.001	0.346	0.147	0.520	0.022	0.574	0.010	0.731	0.000																							
Ë	0.570	0.011	-0.328	0.170	-0.454	0.051	0.434	0.063	0.665	0.002	0.465	0.045	0.600	0.007	0.824	0.000																						T			
ပိ	0.323	0.177	-0.202	0.407	-0.439	090.0	0.586	0.008	0.547	0.015	0.578	0.010	0.594	0.007																								T			
Fe	0.488	\dashv		1.000	-0.193	0.429	909.0	900.0	0.512	0.025	0.181	0.459																										1			
M _n	H	\dashv		+		\dashv		096.0	_	0.743																									r			\dagger			
ပ်	_	\dashv		+		+		0.010																											l	_		\dagger			
>	H	\dashv		+	_	0.477 (_																					+		+					+			+		+	
Ca	\vdash	\dashv		0.000	<u> </u>	0													_									+					$\frac{1}{1}$		L			+		1	
Mg		0.147 0.	0	0		1																						+		+			+		\vdash			+		+	
_		-		(pa)		(pa)		(pal		(pa)		(pal		(pal		(pal		(pal		(pel		led)		(pal		(pel)	2	(pa)	(eq)		led)		(pa)	led)		led)	9	led)	(pa,		(pa)
	2	ρ (two-tailed)	~	p (two-tailed)	œ	p (two-tailed)	œ	ρ (two-tailed)	2	p (two-tailed)	~	p (two-tailed)	~	p (two-tailed)	R	ρ (two-tailed)	N.	p (two-tailed)	R	p (two-tailed)	~	p (two-tailed)	<u>~</u>	ρ (two-tailed)	R	p (two-tailed)	~	p (two-tailed)	R p (two-tailed)	~	ρ (two-tailed)	۳	p (two-tailed)	R p (two-tailed)		ρ (two-tailed)	R free free	p (two-tailed)	R p (two-tailed)	8	p (two-tailed)
			Mg		Ca		>		Ċ		Mn		Fe		၀၀		ï		Cu		Zu		Ga		As		Se	T	윤	ý		РО		Sp	Cs		Ва	Т	Hg	11	

Letters shown in bold font indicate values related to Cu, Zh, As and Sb which were the most largely enriched in the top. Those shown in italic font indicate values related to Hg, TI and Pb which were secondly enriched in the top soil.

Table 4 Hydrogen ion concentration index (pH (H_2O)) of the top soil collected in Amami-Oshima.

Area	Location	pH (H ₂ O)
North-east area	A1	7.13
Southern shore	A2	7.17
	A3	7.03
	A4	7.25
	Area mean	7.15
Amami city area	A5	6.38
	A6	6.79
	A19	6.89
	Area mean	6.69
Central area	A7	6.97
Northern shore	A8	7.16
	A9	6.54
	A10	6.51
	Area mean	6.80
South-central	A11	5.90
area	A12	6.75
	A13	6.33
	A14	6.13
	A15	6.26
	Area mean	6.27
South-central	A16	6.45
Southern shore	A17	6.78
	A18	6.49
	Area mean	6.57
E	ntire mean	6.68

2010)。As 濃度は多くの地点で10 mg/kg 前後が認められ, ガンジス河下流域における濃度範囲の上位に達した(Fig. 5)。

ガンジス河下流域における As 汚染では、土壌中濃度が場所によって大きくばらつくこと(Julian $et\ al.$ 、2007; Selim $et\ al.$ 、2010),As 濃度は Mn および Fe の濃度と有意に相関することが知られるが(徳永、

2007), 奄美大島表層土壌で As 濃度のばらつきははるかに小さく (Fig. 5), Mn および Fe との相関もみられていない。このことから, 奄美大島でも住民への As 暴露リスクは懸念される一方で, 環境中 As レベル上昇のメカニズムは異なることが推察された。

Cu と Pb は、都市部道路脇土壌における濃度と比べ低濃度がみられたが、廃水灌漑農地とは同等かそれ以上であった。Mn, Cd, Fe, Hg も本州山岳地域における濃度(渡邉ほか、2002; 尾崎ほか、2005)より高値を示した。このように、奄美大島の表層土壌における元素レベルを他地域と比べると、数種の元素が本地域では明らかに高いレベルであることが認められた。

3.6 抽出特性と生物可給性

前述したように、奄美大島住民の足の爪には平均 0.41 mg/kg と高濃度の As が検出されている (Tabata et al., 2006)。また本研究では、Cu、As、Sb、Znのほか、Hg、Tl、Pbでも表層土壌で全量濃度に高い値が認められた。したがって、As だけでなく、各種の元素が農作物や粉塵の直接吸入を通して人へ暴露していることが懸念される。土壌中の有害元素は、1 mol/L塩酸で抽出される画分は、表層土の巻き上げによる粉塵を人が直接吸入した際に胃から吸収される量に相当する (中央環境審議会、2002)。また pH を5.8~6.3 に調整した純水で抽出される画分は、降雨に伴う溶出や、植物や農作物への移行に伴い食物を通じて暴露に至る経路に相当する (中央環境審議会、2002)。

これら2種の試験の結果, As は A19ですべてが1 mol/L 塩酸で抽出された。それ以外の地点では、1 mol /L 塩酸抽出では10~30%程度, 水抽出ではおおむね 0.2~1%が抽出された (Table 5, Fig. 2)。土壌汚染 防止法では、1 mol/L 塩酸抽出で、水田土壌中のAs 濃度基準を15 mg/kg と定めている。本結果では、1地 点(A19)がそれを越え、さらに2地点(A1および A12) は半分の7.5 mg/kg 以上であった。水抽出は, 土壌汚染対策法で定める溶出試験に相当するが、As 濃度は沿岸部の1地点(A2)と内陸部の4地点(A11, A12, A13, A14) で基準値 (mg/L ベース) 相当量0.1 mg/kg を超過した。Tabata ほか (2006) は、奄美大 島住民の足の爪における高い As 濃度は、コメや海藻 類など食物の摂取だけでは他地域との差を説明できな いと述べている。このことからも、高濃度の可給性 As を含有する土壌粉塵を地元住民が吸入することが、爪 における As レベルに関与していると考えられる。

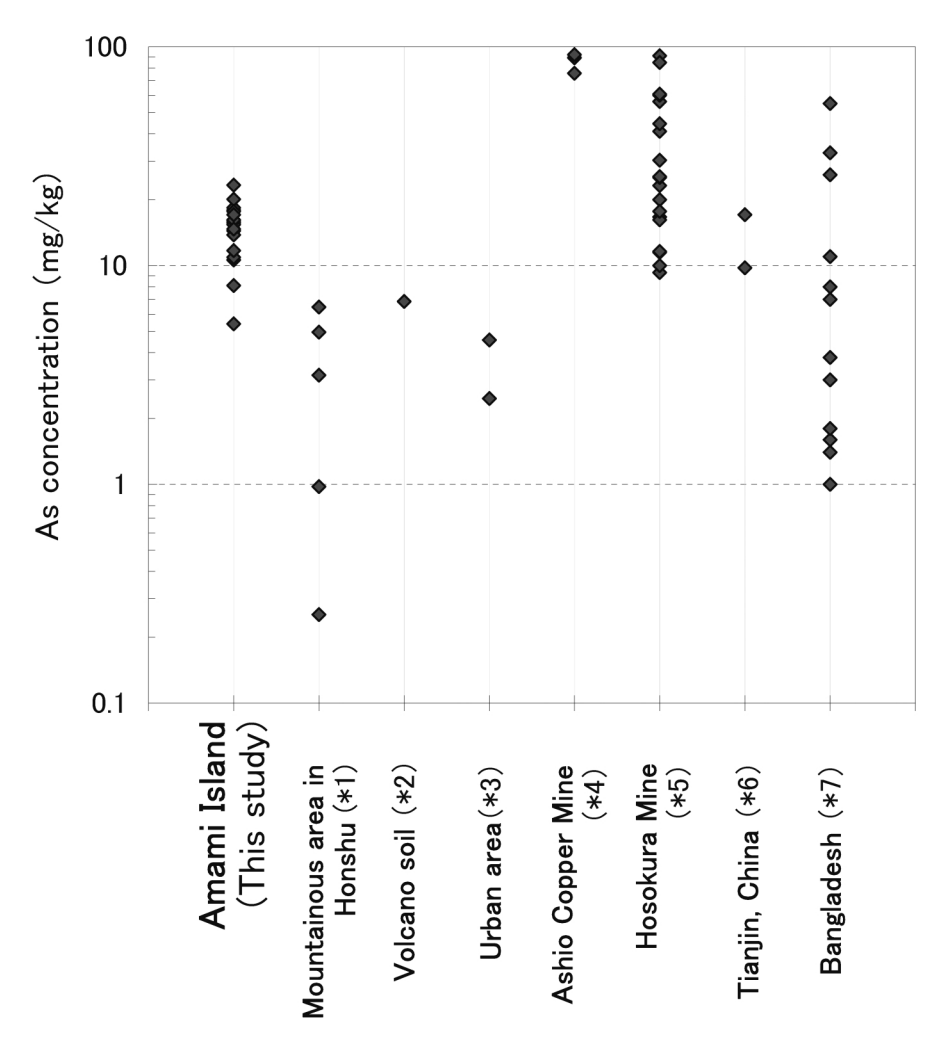


Fig. 5 Inter-regional comparison of soil arsenic concentrations among Amami-Oshima and other concerned areas *¹for clean site (Ozaki *et al.*, 2004) and *²for volcano (Ozaki *et al.*, 2004) in Japan, *³for urban road side soil in Nagano and Tokyo (Shiraishi *et al.*, 2002, Ozaki *et al.*, 2004 and Inada *et al.*, 2009), *⁴for Ashio Copper Mine area (Ozaki and Fukushi, 2010), *⁵for Hosokura Mine area (Asami, 2010), *⁶from sewage water irrigated land in Tianjin, China (Wang and Zhang, 2005) and *⁶from arsenic polluted area in Bangladesh (Julian *et al.*, 2007; Selim *et al.*, 2010).

As とともに全域にわたって高濃度を示した Cu, Zn, Sb のうち、1 mol/L 塩酸によって Zn は5.27~326 mg/kg、Sb は0.118~3.98 mg/kg が抽出され、全量に対し Zn は5.6~51.1%、Sb は13.8~96.4%に相当した(Table 5)。Sb は、A1~5、8で1 mol/L 塩酸抽出割合が50%以上に達した。したがってこれら3元素も、とくに土壌粉塵を多量に吸い込む場合にリスクが生じ得ると考えられた。1 mol/L 塩酸抽出態の Sbが50%を 越えた 地点のうち、A1~4、8では土壌pH(H_2 O)が7以上を示した。また A1~5は、島の北東

部から中央部に位置しており、その地質は四万十帯に 分類される(遅沢ほか、1983; 竹内、1994; 坂井、 2010)。Sbの抽出は土壌 pH が高いほど多くなると の報告もあり(平田ら、1999)、本地域土壌中の有害 元素の全濃度だけでなく、生物可給性も地質的要因に 依存する可能性が示唆された。

Pb は、フッ化水素酸を用いた全分解において非汚染レベルが認められた元素である。また、Pb の1 mol /L 塩酸抽出率は $40\sim60\%$ 、水抽出率はA2、A11、A14の3地点を除き<math>1%未満であった。しかし本元素の

Table 5 Content of total (digested with HF-HNO₃), acid extractable (1 mol/L HCl) and water soluble (pH 5.8 \sim 6.3) V, Mn, Fe, Cu, Zn, As, Cd, Sb, Hg Tl and Pb in top soil samples collected in Amami-Oshima.

			>			Mn			Fe			On			Zn			As	
			mg/kg			mg/kg			mg/kg			mg/kg			mg/kg			mg/kg	
Area	Location	Total content, digested with HF- HNO ₃	1mol/L HCI extraction	pH5.8∼6.3 water extraction	Total content, digested with HF- HNO ₃	1mol/L HCI extraction	pH5.8∼6.3 water extraction	Total content, digested with HF- HNO ₃	1mol/L HCI extraction	pH5.8~6.3 water extraction	Total content, digested with HF- HNO ₃	1mol/L HCI extraction	pH5.8∼6.3 water extraction	Total content, digested with HF- HNO ₃	1mol/L HCI extraction	pH5.8~6.3 water extraction	Total content, digested with HF- HNO ₃	1mol/L HCI extraction	pH5.8~6.3 water extraction
North-east area	AA1	87.2	11.5	0.264	510	195	1.05	21900	3280	67.0	22.5	6.34	0.103	284	163	1.74	17.9	96.6	0.0418
Southern shore	AA2	81.8	2.41	0.813	347	176	1.46	28300	1460	427	22.1	6.76	0.201	142	26.5	1.02	15.7	4.46	0.203
	AA3	114	7.26	0.214	298	312	0.962	41300	1700	86.7	59.6	9.59	0.124	158	23.1	0.243	23.3	3.72	0.0816
		82.7	4.44	0.513	575	228	2.76	24500	1590	228	31.9	8.39	0.198	108	19.1	0.588	10.6	3.53	0.0877
Amami city area		131	9.02	0.511	1070	246	7.07	31600	3140	207	35.0	5.11	0.178	131	10.6	0.498	14.4	0.998	0.0946
	AA6	104	2.79	0.116	737	317	1.43	27900	1430		49.2	47.6	0.108	267	83.7	0.434	18.4	3.17	0.0674
	AA19	46.4	1.21	_	1390	363	1.93	14800	1500		24.6	5.11	0.122	638	265	2.57	20.1	20.0	0.0727
Central area	AA7	94.9	2.12		974	576	2.5	28000	1210		52.5	10.0	0.157	360	105	0.672	13.8	3.36	0.0500
Northern shore	AA8	T.TT	4.38	_	1030	638	0.908	22300	2700		31.0	8.52	0.0655	107	17.3	0.108	8.11	2.76	0.0187
	AA9	79.0	2.34		1540	806	7.09	26900	2420		31.9	6.31	0.133	579	326	2.18	5.42	1.54	0.0281
	AA10	91.3	2.15	_	1730	620	3.28	35100	1600		49.4	10.9	0.146	134	21.9	0.241	15.4	3.25	0.0493
South-central	AA11	118	1.10		713	298	8.87	32300	400		41.8	1.97	0.607	94.2	5.27	1.42	10.9	0.142	0.386
area	AA12	94.9	3.30		459	221	0.809	27000	1300		28.0	4.1	0.0776	115	6.58	0.197	59.7	7.79	0.147
	AA13	101	1.78	0.424	525	356	6.93	29200	1630	257	43.7	8.97	0.288	315	133	2.40	16.0	1.07	0.149
	AA14	79.4	1.03	0.575	2270	671	31.2	34000	1010	343	56.2	8.13	0.494	361	139	3.90	17.7	0.625	0.168
	AA15	69.7	1.38		409	166	1.76	22500	1390	71.1	33.5	90.9	0.145	105	17.3	0.523	11.7	1.24	0.0787
South-central	AA16	91.4	3.16	-	751	291	0.821	14700	1700	23.9	48.6	9.52	0.0831	193	49.3	0.312	16.2	1.83	0.0417
Southern shore	AA17	77.5	2.51	0.0873	521	261	0.893	24000	1510	34.9	50.1	17.8	0.170	232	78.4	0.477	17.1	1.98	0.0309
	AA18	76.2	3.08	0.0482	721	380	1.02	24300	2350	22.2	34.8	12.3	0.0907	124	42.7	0.217	14.7	5 02	0.0994

		oH5.8∼6.3 water extraction	0.0517	0.211	0.0475	0.150	0.160	0.0722	0.0987	0.172	0.0293	0.144	0.0609	0.516	0.056	0.282	0.550	0.0878	0.0486	0.0748	0.0476
유	mg/kg	1mol/L p HCl extraction	5.73	7.72	10.7	10.5	8.33	13.8	9.79	31.4	14.2	11.6	8.62	16.1	8.60	20.8	17.8	6.43	16.0	18.4	15.8
		Total content, digested with HF- HNO ₃	13.7	17.9	23.8	23.5	20.5	30.5	24.8	59.4	21.1	24.2	32.6	25.9	27.9	33.2	38.2	19.9	44.6	45.7	25.8
		9H5.8∼6.3 water extraction	<0.003	0.0033	<0.003	<0.003	<0.003	<0.003	<0.003	<0.003	<0.003	<0.003	<0.003	0.00698	<0.003	<0.003	0.0035	<0.003	<0.003	<0.003	<0.003
=	mg/kg	1mol/L p HCl extraction	<0.010	0.0118	0.0117	<0.010	<0.010	<0.010	<0.010	<0.010	0.0104	<0.010	0.0195	0.0238	0.013	0.0111	0.0174	<0.010	0.0117	0.0115	0.0273
		Total content, digested with HF- HNO ₃	0.301	0.501	0.513	0.424	0.436	0.541	0.325	0.530	0.382	0.521	0.532	0.654	0.489	0.644	0.818	0.485	0.433	0.401	0.505
		oH5.8∼6.3 water extraction	<0.035	<0.035	<0.035	<0.035	<0.035	<0.035	0.0421	0.0516	<0.035	0.0714	0.0919	0.115	<0.035	0.0948	0.0560	<0.035	<0.035	0.0905	<0.035
Hg	μg/kg	1mol/L p HCI extraction	5.64	11.3	15.0	16.6	19.2	15.8	8.54	14.0	25.2	12.4	5.50	23.6	10.6	22.5	26.6	6.03	13.1	7.50	5.48
		Total content, digested with HF- HNO ₃	7.97	147	138	114	83.8	121	40.1	78.7	73.2	112	101	128	81.0	117	167	73.3	17.4	141	76.0
		oH5.8 ~ 6.3 water extraction	<0.007	0.01	<0.007	<0.007	<0.007	<0.007	<0.007	<0.007	<0.007	<0.007	<0.007	0.048	<0.007	0.0102	0.0187	<0.007	<0.007	<0.007	<0.007
Sb	mg/kg	1mol/L p HCI extraction	3.98	1.99	1.29	1.02	0.699	0.624	0.409	0.598	0.518	0.411	0.377	0.228	0.336	0.267	0.204	0.118	0.171	0.233	0.197
		Total content, digested with HF- HNO ₃	1.41	2.05	1.79	1.20	0.858	3.40	1.18	2.73	0.934	1.04	4.13	2.02	3.02	2.22	3.11	1.85	2.97	2.17	1.38
		oH5.8∼6.3 water extraction	<0.002	<0.002	<0.002	<0.002	<0.002	<0.002	<0.002	<0.002	<0.002	<0.002	<0.002	<0.002	<0.002	<0.002	<0.002	<0.002	<0.002	<0.002	<0.002
ВО	mg/kg	1mol/L p HCI extraction	0.063	0.0735	0.0667	0.0506	0.0519	0.125	0.106	0.199	0.0703	0.447	0.130	0.0615	0.0488	0.142	0.153	0.0431	0.175	0.160	0.244
		Total content, digested with HF- HNO ₃	0.0816	0.156	0.122	0.0921	0.0999	0.249	0.180	0.279	0.0857	0.592	0.256	0.0835	0.0964	0.211	0.243	0.0879	0.266	0.248	0.335
		Location	AA1	AA2	AA3	AA4	AA5	AA6	AA19	AA7	AA8	AA9	AA10	AA11	AA12	AA13	AA14	AA15	AA16	AA17	AA18
		Area	North-east area	Southern shore			Amami city area			Central area	Northern shore			South-central	area				South-central	Southern shore	

水抽出量は,これら3地点を含む中南部南岸以外の広範囲(A2, A4, A5, A7, A9, A11, A13, A14)で溶出基準濃度相当量0.1 mg/kgを超過する,0.29~1.99 mg/kg が認められた。したがって,農作物への移行や生態系内での移動に関して注意を要すると考えられた(Table 5, Fig. 2)。

Cd は、1 mol/L 塩酸では全量濃度の $50 \sim 80\%$ にあたる約 $0.04 \sim 0.45 \text{ mg/kg}$ が抽出された。A9では、1 mol/L 塩酸抽出量が0.447 mg/kg、全量濃度が0.592 mg/kgで両者とも最大値を示した(Table 5)。土壌汚染防止法では、玄米中の Cd 濃度上限を0.4 mg/kg と定めており、土壌中における Cd の高い水溶解性を考慮すると、本結果は農作物への移行リスクを示すと懸念された。

Hg は、奄美大島での先行研究において、高次捕食生物体内で高濃度が認められた元素である(Horai et al., 2006)。本研究では、水抽出では多くが検出下限値($0.035\,\mu g/kg$)未満、 $1\,mol/L$ 塩酸抽出量は $5\sim25\,\mu g/kg$ と、全量に対して概ね20%程度を占めるにとどまった。したがって、高次捕食生物体内の Hg 蓄積は、土壌からの Hg の過剰供給だけでは説明できない。しかし Hg は、食物網を通じた生物濃縮率はとくに大きい元素であり(渡邉ほか、2011)、全 Hg 濃度レベルが土壌中で比較的高いことは(3.1節)、高次生物における蓄積レベルに関連しうる一因になると考えられる。

以上から、奄美大島の表層土壌で高濃度に含まれる有害元素のうち、とくにAs、Sb、Pb、Cd、次いでCuおよびHgは、巻き上げ粉塵の吸入について注意を要すると推測された。Pbは、粉塵の直接吸入に加えて溶出による環境中の拡散や、農作物への移行に伴う暴露リスクを有すると考えられた。したがって、本地域の高次生物で有害元素濃度に高レベルがみられた要因に、土壌粉塵の吸入や植物および農作物への移行が関与すると推察された。

4. 結 論

奄美大島の表層土壌には、とくに Cu, Zn, As, Sbが, 次いで Hg, Tl, Pbが非汚染土壌と比べて高濃度に含まれる有害元素であることが明らかとされ、生物への元素供給源となることが示唆された。さらに、土壌における高濃度の有害元素レベルは四万十帯の露出という地質要因が関与する可能性が考えられた。土壌中濃度と地質分布の関係は、母岩等の分析により

バックグラウンドを調査した地球化学図と対比させるなど、いっそうの検討が求められ、それによって高濃度の原因がさらに明らかになると期待される。これら基礎的モニタリングを継続し、生物を含む奄美大島の陸上生態系における元素循環を解明してゆくことが、本地域の自然環境の保護に貢献するものと考えられる。

謝辞

本研究は、科学研究費補助金(新学術領域研究 No. 20120008と挑戦的萌芽研究 No. 23651008)およ び環境省地球環境研究総合推進費(RF-0908)によっ て遂行された。

引用文献

奄美市ホームページ (2011.5.28) 奄美市の人口 (住民登録月報). http://www.city.amami.lg.jp/amami03/amami74.asp 浅見輝男 (2010) 改訂増補版データで示す日本土壌の有害金属 汚染. アグネ技術センター, pp. 615.

中央環境審議会(2002)今後の土壌環境保全対策の在り方について(答申). pp. 27.

古江広治 (2009) 奄美群島に分布する土壌の特性と生産力向上 のための土壌管理, 鹿児島県農業開発総合センター研究報告. 耕種部門, 3, 147-223.

畠山史郎 (1999) 奥日光地方における森林衰退と酸性降下物・酸化性大気汚染物質. 環境科学会誌, **12**, 227-232.

平田静子・冨永衛・寺島滋(1999)模擬汚染土壌からの全アンチモンの溶出挙動. 水環境学会誌, **22**, 288-293.

Horai, S., Minagawa, M., Ozaki, H., Watanabe, I., Takeda, Y., Yamada, K., Ando, T., Akiba, S., Abe, S. and Kuno, K. (2006) Accumulation of Hg and other heavy metals in the Javan mongoose (*Herpestes javanicus*) captured on Amamioshima Island, Japan. *Chemosphere*, 65, 657–665.

稲田征治・久野勝治・渡邉泉(2009)東京都内の主要幹線道路で採取した道路脇堆積粉塵中微量元素の濃度レベル―2000~2003年の調査―. 人間と環境, 35, 121-130.

岩坂泰信(2001) 地球環境時代に山岳での大気観測が果たす役割. 土器屋由紀子・長田和雄・岩坂泰信・直江寛明, 山の大気環境科学. 養賢堂, pp.8-9.

Julian, E. S., Boylana, L. M., Robertsonb, J. D., Smith, L., Rahmand, M. M., Hooka, J. and Rigdone, R. (2007) Selenium and arsenic content of agricultural soils from Bangladesh and Nepal. *Toxicological and Environmental* Chemistry, 90, 203–210.

梶原良道・正路徹也 (1997) 鉱物資源の分類. エネルギー・資源学会編, エネルギー・資源ハンドブック. オーム社, pp. 1013-1015.

国土交通省(2006)道路交通センサス平成17年度.

興水達司・小林浩 (2004) 甲府盆地およびその周辺域における 地下水中のヒ素濃度分布とその起源. 環境地質学シンポジ ウム論文集, **14**, 141-146.

- Liu, W., Zhao, J., Ouyang, Z., Soderlund, L. and Liu, G. (2005) Impacts of sewage irrigation on heavy metal distribution and contamination in Beijing, China. *Environ*mental International, 31, 805–812.
- 遅沢壮一・相田吉昭・中森亨・新部明郎・蟹沢聰史・中川久夫 (1983) 奄美大島の地質,とくに重力滑動と崩壊による地 質の構成について.地質学論集,22,39-56.
- 尾崎宏和・福士謙介 (2010) 渡良瀬遊水地近傍の沼における底質中の重金属残留. 第19回環境化学討論会講演要旨集, pp. 808-809.
- Ozaki, H., Watanabe, I. and Kuno, K. (2004) As, Sb and Hg distribution and pollution sources in the roadside soil and dust around Kamikochi, Chubu Sangaku National Park, Japan. *Geochemical Journal*, **38**, 473–484.
- 尾崎宏和・渡邉泉・久野勝治(2005)上高地周辺の観光道路に おける土壌および道路わき粉塵の重金属濃度の長期変動. 環境化学, **15**, 287-298.
- 尾崎宏和・渡邉泉・久野勝治(2009)山岳地域と都市部の道路 脇における土壌および堆積粉塵の理化学的性質の地域分 布,季節変化および相互関係.環境化学,19,13-23.
- 坂井卓(2010)琉球列島の四万十帯白亜紀付加体. 日本地質学会編,日本地方地質誌 8 九州・沖縄地方,朝倉書店, pp. 218-222.
- 瀬戸内町ホームページ(2011.5.28)人口・世帯の推移. http://www.amami-setouchi.org/node/26
- Selim Reza, A. H. M., Jean, J., Yang, H., Lee, M., Woodall, B., Liu, C., Lee, J. and Luo. S. (2010) Occurrence of arsenic in core sediments and groundwater in the Chapai-Nawabganj District, northwestern Bangladesh. Water Research, 44, 2021–2037.
- 白石さやか・渡邉泉・久野勝治 (2002) 東京都内の主要道路に おける道路粉塵, 街路土壌および街路樹葉の重金属蓄積. 環境化学, **12**, 829-837.
- Tabata, H., Anwar, M., Horai S., Ando, T., Nakano A., Wakamiya, J., Koriyama, C., Nakagawa, M., Yamada, K. and Akiba, S. (2006). Toenail Arsenic Levels among Residents in Amami-Oshima Island, Japan. *Environmental*

- Sciences, 13, 149-160.
- 竹内誠 (1994) 20万分の1地質図幅「奄美大島」, 地質調査所.
- 龍郷町ホームページ(2011.5.28)行政区人口世帯数. http://www.town.tatsugo.lg.jp/zinkou.pdf
- 徳永裕司(2007)バングラデシュの地下水ヒ素汚染地域に住む 住民のヒ素暴露について.国立医薬品食品衛生研究所報 告,125,1-16.
- 宇検村ホームページ (2011.5.28) 集落人口・世帯数. http://www.uken.net/index.php?oid=38&dtype=1006&pid=176
- Wang, X., Sato, T., Xing, B. and Tao, S. (2005) Health risks of heavy metals to the general public in Tianjin, China via consumption of vegetables and fish. Science of the Total Environment, 350, 28–37.
- Wang, Z. and Zhang, H. (2005) Environmental quality and biological effects of heavy metals in soils in the regions of sewage irrigation in Tianjin. *Ecology and Environment*, 14, 211–213.
- WWF ジャパン (2009) WWF ジャパン南西諸島生物多様性評価プロジェクト報告書. 財団法人世界自然保護基金ジャパン, pp. 178.
- 渡邉泉・秋山太一・佐野翔一 (2011) 沖縄島北部やんばる地域 の生態系における水銀分布と他元素との関係. 地球化学, 45, 29-42.
- 渡邉泉・前畑亜希子・尾崎宏和・久野勝治(2002) 日光国立公園尾瀬周辺における道路粉塵の重金属濃度とその地理的分布および季節変動—1999年の調査—. 環境科学会誌, 15, 113-125.
- 大和村ホームページ(2011.5.28)人口・世帯数. http://www.vill.yamato.lg.jp/update/119.asp
- 山崎秀夫・吉川周作・稲野伸哉 (2004) 隠岐男池堆積物に記録 された重金属汚染の歴史トレンドの解析. 分析化学, **53**, 1419-1425.
- 山崎秀夫・阪田健行・阪下誠・辻本彰・村上晶子・吉川周作 (2009) わが国の僻地・離島湖沼堆積物の重金属汚染とそ の歴史トレンド. 第18回環境化学会討論会講演要旨集, pp. 72-73